

УДК 532.59:539.3:534.1

КОЛЕБАНИЯ ПЛАВАЮЩЕЙ УПРУГОЙ ПЛАСТИНЫ ПРИ ПЕРИОДИЧЕСКИХ СМЕЩЕНИЯХ УЧАСТКА ДНА

Л. А. Ткачева

Институт гидродинамики им. М. А. Лаврентьева СО РАН, 630090 Новосибирск
E-mail: tkacheva@hydro.nsc.ru

Решена задача о поведении плавающей упругой пластины в виде полосы под действием периодических колебаний участка дна. Используется численный метод, основанный на методе Винера — Хопфа. Численно исследовано влияние частоты, положения колеблющегося участка дна и глубины жидкости на амплитуды колебаний жидкости и пластины.

Ключевые слова: поверхностные волны, изгибно-гравитационные волны, упругая пластина, метод Винера — Хопфа, частоты рассеяния.

Введение. В последнее время задача о гидроупругом поведении плавающих упругих пластин интенсивно изучается в связи с проектами построения плавучих аэродромов, искусственных островов и плавающих платформ различного назначения. Гигантские размеры таких объектов затрудняют выполнение критериев подобия при экспериментальных исследованиях, поэтому большую роль в их изучении играет численное моделирование.

Задача дифракции поверхностных волн на плавающей упругой пластине изучена достаточно хорошо. Значительно менее исследованы вынужденные колебания пластины под действием нестационарной нагрузки, а также поведение плавающей упругой пластины при колебаниях участка дна, вызванных землетрясением. В [1] исследованы высокочастотные колебания, дно моделируется однородной упругой средой (полупространством), в которой распространяются волны сжатия и сдвига от эпицентра землетрясения, а жидкость предполагается сжимаемой и невесомой. В [2] методом Винера — Хопфа построено аналитическое решение для упругой полубесконечной пластины при заданных периодических колебаниях дна и несжимаемой весомой жидкости. Обзор существующих численных методов решения задачи о поведении плавающих упругих пластин выполнен в [3]. В настоящей работе метод Винера — Хопфа используется для исследования в плоской постановке колебаний пластины конечной ширины, плавающей на поверхности несжимаемой весомой жидкости конечной глубины при колебаниях участка дна. Изучено влияние частоты, положения колеблющегося участка и глубины жидкости на амплитуды колебаний жидкости и пластины для условий модельного аэропорта.

1. Постановка задачи. В рамках линейной теории исследуется гидроупругое поведение плавающей пластины при периодических колебаниях участка дна. Толщина пластины h , длина L_0 . Левый край пластины принимается за начало декартовой системы координат Oxy . Концы пластины не закреплены. Жидкость идеальная несжимаемая, а ее течение безвихревое. Будем предполагать, что толщина пластины значительно меньше

длины волн, распространяющихся в пластине. Граничные условия сносятся на невозмущенную поверхность воды.

Потенциал скоростей жидкости φ удовлетворяет уравнению Лапласа и граничным условиям вида

$$\begin{aligned} \Delta\varphi &= 0 & (-H_0 < y < 0), \\ \varphi_y &= w_t \quad (y = 0), & w(x, -H_0, t) = u(x) e^{-i\omega t}, \\ D \frac{\partial^4 w}{\partial x^4} + \rho_0 h \frac{\partial^2 w}{\partial t^2} &= p & (y = 0, \quad 0 < x < L_0), \\ p &= -\rho(\varphi_t + gw), \\ \varphi_t + gw &= 0 & (y = 0, \quad x \in (-\infty, 0) \cup (L_0, \infty)). \end{aligned} \quad (1.1)$$

Здесь H_0 — глубина жидкости; w — вертикальное смещение верхней поверхности жидкости (пластины); p — гидродинамическое давление; g — ускорение свободного падения; D — цилиндрическая жесткость пластины; ρ, ρ_0 — плотности жидкости и пластины; t — время; ω — частота колебаний. На краях пластины должны обращаться в нуль момент и перерезывающая сила:

$$\frac{\partial^2 w}{\partial x^2} = \frac{\partial^3 w}{\partial x^3} = 0 \quad (y = 0, \quad x = 0, L_0). \quad (1.2)$$

Рассмотрим сначала случай точечного источника на дне: $u(x, t) = u_0 \delta(x - x_0)$. Зависимость всех функций от времени выражается множителем $e^{-i\omega t}$. Введем характерную длину $l = g/\omega^2$ и безразмерные переменные

$$x' = \frac{x}{l}, \quad y' = \frac{y}{l}, \quad \varphi' = \frac{\omega\varphi}{gu_0}, \quad w' = \frac{w}{u_0}, \quad t' = \omega t$$

(штрихи в дальнейшем будем опускать). Представим потенциал в виде $\varphi = \phi(x, y) e^{-it}$. Тогда из (1.1), (1.2) получим краевую задачу для ϕ :

$$\frac{\partial^2 \phi}{\partial x^2} + \frac{\partial^2 \phi}{\partial y^2} = 0 \quad (-H < y < 0);$$

$$\frac{\partial \phi}{\partial y} = -i\delta(x - x_*) \quad (y = -H); \quad (1.3)$$

$$\frac{\partial \phi}{\partial y} - \phi = 0 \quad (y = 0, \quad x \in (-\infty, 0) \cup (L, \infty)); \quad (1.4)$$

$$\left(\beta \frac{\partial^4}{\partial x^4} + 1 - d \right) \frac{\partial \phi}{\partial y} - \phi = 0 \quad (y = 0, \quad 0 < x < L); \quad (1.5)$$

$$\frac{\partial^2}{\partial x^2} \frac{\partial \phi}{\partial y} = \frac{\partial^3}{\partial x^3} \frac{\partial \phi}{\partial y} = 0 \quad (y = 0, \quad x = 0, L); \quad (1.6)$$

$$L = \frac{L_0}{l}, \quad H = \frac{H_0}{l}, \quad x_* = \frac{x_0}{l}, \quad \beta = \frac{D}{\rho g l^4}, \quad d = \frac{\rho_0 h}{\rho l}.$$

Здесь L, H, x_*, β, d — безразмерные параметры задачи: соответственно длина пластины, глубина жидкости, положение источника колебаний, приведенные жесткость и осадка пластины в воду. Кроме того, должны выполняться условия излучения при $|x| \rightarrow \infty$ и условия регулярности вблизи кромок (локальная ограниченность энергии).

2. Система интегральных уравнений. Решение задачи будем строить методом Винера — Хопфа в интерпретации Джонса [4]. Введем функции комплексной переменной α

$$\begin{aligned} \Phi_+(\alpha, y) &= \int_L^\infty e^{i\alpha(x-L)} \phi(x, y) dx, & \Phi_-(\alpha, y) &= \int_{-\infty}^0 e^{i\alpha x} \phi(x, y) dx, \\ \Phi_1(\alpha, y) &= \int_0^L e^{i\alpha x} \phi(x, y) dx, & \Phi(\alpha, y) &= \Phi_-(\alpha, y) + \Phi_1(\alpha, y) + e^{i\alpha L} \Phi_+(\alpha, y). \end{aligned} \quad (2.1)$$

Функция $\Phi_+(\alpha, y)$ определена в верхней полуплоскости $\text{Im } \alpha > 0$, а $\Phi_-(\alpha, y)$ — в нижней полуплоскости $\text{Im } \alpha < 0$. С помощью аналитического продолжения эти функции можно определить во всей комплексной плоскости.

Для поверхностных волн значения α должны удовлетворять дисперсионному соотношению

$$K_1(\alpha) \equiv \alpha \text{th}(\alpha H) - 1 = 0,$$

которое имеет два действительных корня $\pm\gamma$ и счетное множество чисто мнимых корней $\pm\gamma_n$ ($n = 1, 2, \dots$), расположенных симметрично относительно действительной оси [4]; $\gamma_n \rightarrow in\pi/H$ при $n \rightarrow \infty$.

Для изгибно-гравитационных волн, распространяющихся в пластине, получаем дисперсионное соотношение

$$K_2(\alpha) \equiv (\beta\alpha^4 + 1 - d)\alpha \text{th}(\alpha H) - 1 = 0,$$

которое имеет два действительных корня $\pm\alpha_0$, счетное множество чисто мнимых корней $\pm\alpha_n$ ($n = 1, 2, \dots$), симметричных относительно действительной оси, а также четыре комплексных корня, симметричных относительно действительной и мнимой осей [5]. Обозначим через α_{-1} корень, лежащий в первом квадранте, через α_{-2} — корень во втором квадранте; $\alpha_n \rightarrow in\pi/H$ при $n \rightarrow \infty$.

Дисперсионные функции $K_1(\alpha)$ и $K_2(\alpha)$ четные. Действительные корни дисперсионных соотношений определяют распространяющиеся волны, остальные корни — краевые волны, экспоненциально затухающие вдали от кромки пластины.

Исследуем поведение функций $\Phi_\pm(\alpha, y)$. При $x \rightarrow -\infty$ потенциал представляет собой волну вида $R e^{-i\gamma x}$ (R — комплексная амплитуда волны, распространяющейся влево) и множество экспоненциально затухающих волн. Наименее затухающая волна соответствует корню γ_1 . Тогда $\Phi_-(\alpha, y)$ аналитична в полуплоскости $\text{Im } \alpha < |\gamma_1|$, за исключением полюса при $\alpha = \gamma$. При $x \rightarrow \infty$ потенциал ϕ представляет собой волну вида $T e^{i\gamma x}$ (T — комплексная амплитуда волны, распространяющейся вправо) и множество экспоненциально затухающих мод. Поэтому функция $\Phi_+(\alpha, y)$ аналитична в полуплоскости $\{\text{Im } \alpha > -|\gamma_1|\}$, за исключением полюса в точке $\alpha = -\gamma$.

Функция $\Phi(\alpha, y)$ представляет собой образ Фурье для функции $\phi(x, y)$ и удовлетворяет уравнению

$$\frac{\partial^2 \Phi}{\partial y^2} - \alpha^2 \Phi = 0.$$

Общее решение этого уравнения имеет вид

$$\Phi(\alpha, y) = C(\alpha)Z(\alpha, y) + S(\alpha) \text{sh}(\alpha(y + H)), \quad Z(\alpha, y) = \text{ch}(\alpha(y + H))/\text{ch}(\alpha H). \quad (2.2)$$

Из условия (1.3) на дне получаем

$$\frac{\partial \Phi}{\partial y}(\alpha, -H) = -i e^{i\alpha x_*}, \quad S(\alpha) = -\frac{i e^{i\alpha x_*}}{\alpha}.$$

Обозначим через $D_{\pm}(\alpha)$, $D_1(\alpha)$ интегралы типа (2.1), где функция ϕ под интегралом заменяется левой частью краевого условия (1.4), а через $F_{\pm}(\alpha)$, $F_1(\alpha)$ — аналогичные выражения, в которых в качестве подынтегральной функции берется левая часть выражения (1.5). Введем функции

$$D(\alpha) = D_-(\alpha) + D_1(\alpha) + e^{i\alpha L} D_+(\alpha), \quad F(\alpha) = F_-(\alpha) + F_1(\alpha) + e^{i\alpha L} F_+(\alpha).$$

Функции $D(\alpha)$ и $F(\alpha)$ представляют собой образы Фурье от дисперсионных функций, которые будем понимать в смысле обобщенных функций [6]. Для них выполняются соотношения

$$D(\alpha) = \frac{\partial \Phi}{\partial y}(\alpha, 0) - \Phi(\alpha, 0), \quad F(\alpha) = (\beta\alpha^4 + 1 - d) \frac{\partial \Phi}{\partial y}(\alpha, 0) - \Phi(\alpha, 0).$$

Из краевых условий (1.4) и (1.5) имеем

$$\begin{aligned} D_-(\alpha) = D_+(\alpha) = 0, \quad F_1(\alpha) = 0, \\ D_1(\alpha) = D(\alpha) = C(\alpha)K_1(\alpha) - i e^{i\alpha x^*} (\operatorname{ch}(\alpha H) - \operatorname{sh}(\alpha H)/\alpha), \\ F_-(\alpha) + e^{i\alpha L} F_+(\alpha) = C(\alpha)K_2(\alpha) - i e^{i\alpha x^*} [(\beta\alpha^4 + 1 - d) \operatorname{ch}(\alpha H) - \operatorname{sh}(\alpha H)/\alpha]. \end{aligned} \quad (2.3)$$

Исключая $C(\alpha)$ из этих соотношений, получаем уравнение

$$\begin{aligned} F_-(\alpha) + e^{i\alpha L} F_+(\alpha) + i e^{i\alpha x^*} [(\beta\alpha^4 + 1 - d) \operatorname{ch}(\alpha H) - \operatorname{sh}(\alpha H)/\alpha] = \\ = K(\alpha) [D_1(\alpha) + i e^{i\alpha x^*} (\operatorname{ch}(\alpha H) - \operatorname{sh}(\alpha H)/\alpha)], \\ K(\alpha) = K_2(\alpha)/K_1(\alpha). \end{aligned} \quad (2.4)$$

В соответствии с методом Винера — Хопфа необходимо факторизовать функцию $K(\alpha)$, т. е. представить ее в виде

$$K(\alpha) = K_+(\alpha)K_-(\alpha),$$

где функции $K_{\pm}(\alpha)$ регулярны в тех же областях, что и функции $\Phi_{\pm}(\alpha, y)$. Функция $K(\alpha)$ имеет нули и полюса на действительной оси в точках $\pm\gamma$ и $\pm\alpha_0$ соответственно. Поэтому будем рассматривать области аналитичности Π_+ и Π_- , где Π_+ — полуплоскость $\operatorname{Im} \alpha > -|\gamma_1|$ с разрезами, исключаяющими точки $-\alpha_0$ и $-\gamma$, Π_- — полуплоскость $\operatorname{Im} \alpha < |\gamma_1|$ с разрезами, исключаяющими точки α_0 и γ .

Введем функцию

$$g(\alpha) = \frac{K(\alpha)(\alpha^2 - \gamma^2)}{\beta(\alpha^2 - \alpha_0^2)(\alpha^2 - \alpha_{-1}^2)(\alpha^2 - \alpha_{-2}^2)}.$$

Функция $g(\alpha)$ не имеет нулей на действительной оси, ограничена и на бесконечности стремится к единице. Факторизуем ее следующим образом [4]:

$$g(\alpha) = g_+(\alpha)g_-(\alpha), \quad g_{\pm}(\alpha) = \exp \left[\pm \frac{1}{2\pi i} \int_{-\infty \mp i\sigma}^{\infty \mp i\sigma} \frac{\ln g(x)}{x - \alpha} dx \right], \quad \sigma < |\gamma_1|.$$

Определим функции $K_{\pm}(\alpha)$ по формуле

$$K_{\pm}(\alpha) = \frac{\sqrt{\beta}(\alpha \pm \alpha_0)(\alpha \pm \alpha_{-1})(\alpha \pm \alpha_{-2})g_{\pm}(\alpha)}{\alpha \pm \gamma}.$$

При этом $K_+(\alpha) = K_-(-\alpha)$. Умножим уравнение (2.4) на $e^{-i\alpha L}[K_+(\alpha)]^{-1}$ и преобразуем его к виду

$$\frac{F_+(\alpha)}{K_+(\alpha)} + \frac{e^{-i\alpha L} F_-(\alpha)}{K_+(\alpha)} - \frac{i e^{i\alpha(x^* - L)}(\beta\alpha^4 - d)}{\operatorname{ch}(\alpha H)K_+(\alpha)K_1(\alpha)} = D_1(\alpha)K_-(\alpha) e^{-i\alpha L}.$$

Представив члены в левой части этого уравнения в виде разложения

$$\frac{e^{-i\alpha L} F_-(\alpha)}{K_+(\alpha)} = U_+(\alpha) + U_-(\alpha), \quad -\frac{i e^{i\alpha(x_*-L)}(\beta\alpha^4 - d)}{\operatorname{ch}(\alpha H)K_+(\alpha)K_1(\alpha)} = L_+(\alpha) + L_-(\alpha),$$

запишем

$$F_+(\alpha)/K_+(\alpha) + U_+(\alpha) + L_+(\alpha) = D_1(\alpha)K_-(\alpha) e^{-i\alpha L} - L_-(\alpha) - U_-(\alpha). \quad (2.5)$$

Теперь разделим уравнение (2.4) на $K_-(\alpha)$ и преобразуем его к виду

$$\frac{F_-(\alpha)}{K_-(\alpha)} + \frac{e^{i\alpha L} F_+(\alpha)}{K_-(\alpha)} - \frac{i e^{i\alpha x_*}(\beta\alpha^4 - d)}{\operatorname{ch}(\alpha H)K_-(\alpha)K_1(\alpha)} = D_1(\alpha)K_+(\alpha).$$

Представив члены в левой части этого уравнения в виде разложения

$$\frac{e^{i\alpha L} F_+(\alpha)}{K_-(\alpha)} = V_+(\alpha) + V_-(\alpha), \quad -\frac{i e^{i\alpha x_*}(\beta\alpha^4 - d)}{\operatorname{ch}(\alpha H)K_-(\alpha)K_1(\alpha)} = N_+(\alpha) + N_-(\alpha),$$

запишем

$$F_-(\alpha)/K_-(\alpha) + V_-(\alpha) + N_-(\alpha) = D_1(\alpha)K_+(\alpha) - V_+(\alpha) - N_+(\alpha). \quad (2.6)$$

Функции $U_{\pm}(\alpha)$, $V_{\pm}(\alpha)$, $L_{\pm}(\alpha)$, $N_{\pm}(\alpha)$ определяются следующими выражениями [4]:

$$U_{\pm}(\alpha) = \pm \frac{1}{2\pi i} \int_{-\infty \mp i\sigma}^{\infty \mp i\sigma} \frac{e^{-i\zeta L} F_-(\zeta) d\zeta}{K_+(\zeta)(\zeta - \alpha)}; \quad V_{\pm}(\alpha) = \pm \frac{1}{2\pi i} \int_{-\infty \mp i\sigma}^{\infty \mp i\sigma} \frac{e^{i\zeta L} F_+(\zeta) d\zeta}{K_-(\zeta)(\zeta - \alpha)};$$

$$L_{\pm}(\alpha) = \mp \frac{1}{2\pi} \int_{-\infty \mp i\sigma}^{\infty \mp i\sigma} \frac{e^{i\zeta(x_*-L)}(\beta\zeta^4 - d) d\zeta}{\operatorname{ch}(\alpha H)K_+(\zeta)K_1(\zeta)(\zeta - \alpha)}; \quad (2.7)$$

$$N_{\pm}(\alpha) = \mp \frac{1}{2\pi} \int_{-\infty \mp i\sigma}^{\infty \mp i\sigma} \frac{e^{i\zeta x_*}(\beta\zeta^4 - d) d\zeta}{\operatorname{ch}(\alpha H)K_-(\zeta)K_1(\zeta)(\zeta - \alpha)}, \quad (2.8)$$

где $\sigma < |\gamma_1|$.

В левой части уравнения (2.5) имеем функцию, аналитическую в области Π_+ , а в правой части — аналитическую в области Π_- . Аналитическим продолжением можно определить функцию, аналитическую во всей комплексной плоскости. Согласно теореме Лиувилля эта функция является полиномом. Степень полинома определяется поведением функций при $|\alpha| \rightarrow \infty$. Из условия локальной ограниченности энергии следует, что вблизи кромки пластины скорости имеют особенность, порядок которой не выше $O(r^{-\lambda})$ ($\lambda < 1$, r — расстояние до кромки пластины). Тогда функция $F_-(\alpha)$ при $|\alpha| \rightarrow \infty$ имеет порядок не выше $O(|\alpha|^{\lambda+3})$, а $D_+(\alpha)$ — не выше $O(|\alpha|^{\lambda-1})$ [6]. Функции $K_{\pm}(\alpha)$ имеют на бесконечности порядок $O(|\alpha|^2)$, так как $g_{\pm}(\alpha) \rightarrow 1$ при $|\alpha| \rightarrow \infty$. Следовательно, степень полинома равна единице и

$$F_+(\alpha)/K_+(\alpha) + U_+(\alpha) + L_+(\alpha) = a_1 + a_2\alpha. \quad (2.9)$$

Аналогично из уравнения (2.6) имеем

$$F_-(\alpha)/K_-(\alpha) + V_-(\alpha) + N_-(\alpha) = b_1 + b_2\alpha. \quad (2.10)$$

Здесь a_1 , a_2 , b_1 , b_2 — неизвестные константы, которые будем определять из условий в кромках (1.6).

Из уравнений (2.9), (2.10) получаем систему

$$\begin{aligned} \frac{F_+(\alpha)}{K_+(\alpha)} + \frac{1}{2\pi i} \int_{-\infty+i\sigma}^{\infty+i\sigma} \frac{e^{-i\zeta L} F_-(\zeta) d\zeta}{(\zeta - \alpha)K_+(\zeta)} &= a_1 + a_2\alpha - L_+(\alpha), \\ \frac{F_-(\alpha)}{K_-(\alpha)} - \frac{1}{2\pi i} \int_{-\infty-i\sigma}^{\infty-i\sigma} \frac{e^{i\zeta L} F_+(\zeta) d\zeta}{(\zeta - \alpha)K_-(\zeta)} &= b_1 + b_2\alpha - N_-(\alpha). \end{aligned} \quad (2.11)$$

Определим константы a_1 и a_2 . Имеем

$$D_1(\alpha)K_-(\alpha)e^{-i\alpha L} - L_-(\alpha) - U_-(\alpha) = a_1 + a_2\alpha.$$

Подставляя в это уравнение выражение для $U_-(\alpha)$, находим

$$D_1(\alpha) = \frac{e^{i\alpha L}}{K_-(\alpha)} \left[a_1 + a_2\alpha + L_-(\alpha) - \frac{1}{2\pi i} \int_{-\infty+i\sigma}^{\infty+i\sigma} \frac{e^{-i\zeta L} F_-(\zeta) d\zeta}{K_+(\zeta)(\zeta - \alpha)} \right].$$

С учетом (2.2) и (2.3) и с помощью обратного преобразования Фурье получаем выражение для потенциала

$$\begin{aligned} \phi(x, y) &= \frac{1}{2\pi} \int_{-\infty}^{\infty} \frac{e^{-i\alpha(x-L)} \operatorname{ch}(\alpha(y+H))}{\operatorname{ch}(\alpha H)K_-(\alpha)K_1(\alpha)} \left[a_1 + a_2\alpha + L_-(\alpha) - \frac{1}{2\pi i} \int_{-\infty+i\sigma}^{\infty+i\sigma} \frac{e^{-i\zeta L} F_-(\zeta) d\zeta}{K_+(\zeta)(\zeta - \alpha)} \right] d\alpha + \\ &+ \frac{1}{2\pi i} \int_{-\infty}^{\infty} \frac{e^{-i\alpha(x-x_*)} \operatorname{sh}(\alpha(y+H)) d\alpha}{\alpha} - \\ &- \frac{1}{2\pi} \int_{-\infty}^{\infty} \frac{e^{-i\alpha(x-x_*)} (\operatorname{ch}(\alpha H) - \operatorname{sh}(\alpha H)/\alpha) Z(\alpha, y) d\alpha}{K_1(\alpha)}. \end{aligned} \quad (2.12)$$

Умножим числитель и знаменатель на $K_+(\alpha)$. После преобразований получим выражение для производной потенциала

$$\begin{aligned} \frac{\partial \phi}{\partial y}(x, 0) &= \frac{1}{2\pi} \int_{-\infty}^{\infty} \frac{e^{-i\alpha(x-L)} \alpha \operatorname{th}(\alpha H) K_+(\alpha)}{K_2(\alpha)} \left[a_1 + a_2\alpha - L_+(\alpha) - \frac{1}{2\pi i} \int_{-\infty+i\sigma}^{\infty+i\sigma} \frac{e^{-i\zeta L} F_-(\zeta) d\zeta}{K_+(\zeta)(\zeta - \alpha)} \right] d\alpha - \\ &- \frac{1}{2\pi i} \int_{-\infty}^{\infty} \frac{e^{-i\alpha(x-x_*)} d\alpha}{\operatorname{ch}(\alpha H) K_2(\alpha)}. \end{aligned} \quad (2.13)$$

Контур интегрирования во внешнем интеграле должен быть выбран таким образом, чтобы он полностью лежал в пересечении областей Π_+ и Π_- . Можно выбрать контур интегрирования на действительной оси, обходя точки α_0 и γ снизу, а точки $-\alpha_0$ и $-\gamma$ — сверху.

Во внутреннем интеграле $\operatorname{Im} \alpha < \sigma$. Однако этот интеграл как функция от α аналитическим продолжением может быть определен во всей комплексной плоскости. Вычислим этот интеграл с использованием теории вычетов. Функция $K_+(\zeta)$ имеет нули в точках

$-\alpha_j$, $j = -2, -1, 0, \dots$ и полюса в точках $-\gamma, -\gamma_j$, $j = 1, 2, \dots$. Подынтегральное выражение имеет полюса в точках $\zeta = -\alpha_j$, $j = -2, -1, 0, \dots$ и в точке $\zeta = \alpha$. Поэтому

$$\frac{1}{2\pi i} \int_{-\infty+i\sigma}^{\infty+i\sigma} \frac{e^{-i\zeta L} F_-(\zeta) d\zeta}{K_+(\zeta)(\zeta - \alpha)} = -\frac{e^{-i\alpha L} F_-(\alpha)}{K_+(\alpha)} + \sum_{j=-2}^{\infty} \frac{e^{i\alpha_j L} F_-(\alpha_j)}{K'_+(\alpha_j)(\alpha_j + \alpha)}.$$

Рассмотрим случай $x_* < x < L$. Вычислим внешний интеграл в (2.13) также с использованием теории вычетов. В первом и третьем интегралах контур интегрирования по α замыкаем в верхней полуплоскости, а во втором интеграле — в нижней. Получаем

$$\begin{aligned} \frac{\partial \phi}{\partial y}(x, 0) = & i \sum_{m=-2}^{\infty} \frac{e^{i\alpha_m(L-x)} \alpha_m \operatorname{th}(\alpha_m H) K_+(\alpha_m)}{K'_2(\alpha_m)} \times \\ & \times \left[a_1 + a_2 \alpha_m - L_+(\alpha_m) - \sum_{j=-2}^{\infty} \frac{e^{i\alpha_j L} F_-(\alpha_j)}{K'_+(\alpha_j)(\alpha_j + \alpha_m)} \right] - \\ & - i \sum_{m=-2}^{\infty} \frac{e^{i\alpha_m x} \alpha_m \operatorname{th}(\alpha_m H) F_-(\alpha_m)}{K'_2(-\alpha_m)} - \sum_{m=-2}^{\infty} \frac{e^{i\alpha_m |x-x_*|}}{\operatorname{ch}(\alpha_m H) K'_2(\alpha_m)}. \end{aligned}$$

Подставляя данное выражение в краевые условия (1.6) при $x = L$, получаем два уравнения

$$\begin{aligned} \sum_{m=-2}^{\infty} \frac{\alpha_m^n \operatorname{th}(\alpha_m H) K_+(\alpha_m)}{K'_2(\alpha_m)} \left[a_1 + a_2 \alpha_m - L_+(\alpha_m) - \sum_{j=-2}^{\infty} \frac{e^{i\alpha_j L} F_-(\alpha_j)}{K'_+(\alpha_j)(\alpha_j + \alpha_m)} \right] + \\ + (-1)^n \sum_{m=-2}^{\infty} \frac{e^{i\alpha_m L} \alpha_m^n \operatorname{th}(\alpha_m H) F_-(\alpha_m)}{K'_2(-\alpha_m)} + \frac{1}{2\pi} \int_{-\infty}^{\infty} \frac{\alpha_m^{n-1} e^{i\alpha_m(L-x_*)} d\alpha}{\operatorname{ch}(\alpha_m H) K'_2(\alpha_m)} = 0, \end{aligned} \quad n = 3, 4. \quad (2.14)$$

Из дисперсионного соотношения под пластиной имеем

$$\alpha_m \operatorname{th}(\alpha_m H) = -K_1(\alpha_m) / (\beta \alpha_m^4 - d).$$

Подставляя это выражение в (2.14), находим

$$\begin{aligned} \sum_{m=-2}^{\infty} \frac{\alpha_m^{n-1} K_+(\alpha_m) K_1(\alpha_m)}{K'_2(\alpha_m)(\beta \alpha_m^4 - d)} \left[a_1 + a_2 \alpha_m - L_+(\alpha_m) - \sum_{j=-2}^{\infty} \frac{e^{i\alpha_j L} F_-(\alpha_j)}{K'_+(\alpha_j)(\alpha_j + \alpha_m)} \right] + \\ + (-1)^n \sum_{m=-2}^{\infty} \frac{e^{i\alpha_m L} \alpha_m^{n-1} F_-(\alpha_m) K_1(-\alpha_m)}{K'_2(-\alpha_m)(\beta \alpha_m^4 - d)} + \frac{1}{2\pi} \int_{-\infty}^{\infty} \frac{\alpha_m^{n-1} e^{i\alpha_m(L-x_*)} d\alpha}{\operatorname{ch}(\alpha_m H) K'_2(\alpha_m)} = 0, \end{aligned} \quad n = 3, 4. \quad (2.15)$$

Заметим, что первый член в (2.15) представляет собой сумму вычетов в точках α_m для интеграла

$$\frac{1}{2\pi i} \int_{-\infty}^{\infty} \frac{\alpha^{n-1} K_1(\alpha) K_+(\alpha) [a_1 + a_2 \alpha - L_+(\alpha)] d\alpha}{K_2(\alpha)(\beta \alpha^4 - d)} = \frac{1}{2\pi i} \int_{-\infty}^{\infty} \frac{\alpha^{n-1} [a_1 + a_2 \alpha - L_+(\alpha)] d\alpha}{K_-(\alpha)(\beta \alpha^4 - d)}.$$

Сведем этот интеграл к сумме вычетов в корнях полинома $\beta\alpha^4 - d$. Аналогично поступим и с остальными суммами. В результате для констант a_1, a_2 получим систему уравнений

$$\begin{aligned} a_1 \sum_{k=1}^4 z_k^{n-2} K_+(z_k) + a_2 \sum_{k=1}^4 z_k^{n-1} K_+(z_k) = \\ = \sum_{k=1}^4 z_k^{n-2} K_+(z_k) \left[L_+(z_k) - \frac{1}{2\pi i} \int_{-\infty+i\sigma}^{\infty+i\sigma} \frac{e^{-i\zeta L} F_-(\zeta) d\zeta}{K_+(\zeta)(z_k - \zeta)} \right], \quad n = 1, 2, \end{aligned} \quad (2.16)$$

где z_k — корни полинома $\beta\alpha^4 - d$.

Найдем теперь константы b_1 и b_2 . Из уравнений (2.6), (2.10) имеем

$$D_1(\alpha)K_+(\alpha) - V_+(\alpha) - N_+(\alpha) = b_1 + b_2\alpha.$$

Подставляя в это уравнение выражения для $V_+(\alpha)$ и $N_+(\alpha)$, получим

$$D_1(\alpha) = \frac{1}{K_+(\alpha)} \left[b_1 + b_2\alpha + N_+(\alpha) + \frac{1}{2\pi i} \int_{-\infty-i\sigma}^{\infty-i\sigma} \frac{e^{i\zeta L} F_+(\zeta) d\zeta}{K_-(\zeta)(\zeta - \alpha)} \right].$$

С помощью обратного преобразования Фурье и с учетом (2.2), (2.3) находим представление для потенциала ϕ

$$\begin{aligned} \phi(x, y) = \frac{1}{2\pi} \int_{-\infty}^{\infty} \frac{e^{-i\alpha x} Z(\alpha, y)}{K_+(\alpha)K_1(\alpha)} \left[b_1 + b_2\alpha + N_+(\alpha) + \frac{1}{2\pi i} \int_{-\infty-i\sigma}^{\infty-i\sigma} \frac{e^{i\zeta L} F_+(\zeta) d\zeta}{K_-(\zeta)(\zeta - \alpha)} \right] d\alpha - \\ - \frac{1}{2\pi i} \int_{-\infty}^{\infty} \frac{e^{-i\alpha(x-x_*)} Z(\alpha, y) (\operatorname{ch}(\alpha H) - \operatorname{sh}(\alpha H)/\alpha) d\alpha}{K_1(\alpha)} + \\ + \frac{1}{2\pi i} \int_{-\infty}^{\infty} \frac{e^{-i\alpha(x-x_*)} \operatorname{sh}(\alpha(y+H)) d\alpha}{\alpha}. \end{aligned} \quad (2.17)$$

Для производной потенциала получаем выражение

$$\begin{aligned} \frac{\partial \phi}{\partial y}(x, 0) = \frac{1}{2\pi} \int_{-\infty}^{\infty} \frac{e^{-i\alpha x} \alpha \operatorname{th}(\alpha H) K_-(\alpha)}{K_2(\alpha)} \left[b_1 + b_2\alpha + N_+(\alpha) + \frac{1}{2\pi i} \int_{-\infty-i\sigma}^{\infty-i\sigma} \frac{e^{i\zeta L} F_+(\zeta) d\zeta}{K_-(\zeta)(\zeta - \alpha)} \right] d\alpha - \\ - \frac{1}{2\pi i} \int_{-\infty}^{\infty} \frac{e^{-i\alpha(x-x_*)} d\alpha}{\operatorname{ch}(\alpha H) K_2(\alpha)}. \end{aligned}$$

Подставляя это выражение в граничные условия (1.6), получаем систему уравнений для b_1, b_2

$$\begin{aligned} b_1 \sum_{k=1}^4 \frac{z_k^{n-2}}{K_+(z_k)} + b_2 \sum_{k=1}^4 \frac{z_k^{n-1}}{K_+(z_k)} = \sum_{k=1}^4 \frac{z_k^{n-2}}{K_+(z_k)} \left[-N_+(z_k) + \frac{1}{2\pi i} \int_{-\infty+i\sigma}^{\infty+i\sigma} \frac{e^{-i\zeta L} F_-(\zeta) d\zeta}{K_+(\zeta)(z_k - \zeta)} \right], \\ n = 1, 2. \end{aligned} \quad (2.18)$$

Таким образом, задача сводится к решению системы уравнений (2.11), (2.16), (2.18).

3. Решение системы. Интегралы в уравнениях (2.11), (2.16), (2.18) будем вычислять на основе теории вычетов. Введем новые неизвестные

$$\xi_j = \frac{F_+(\alpha_j)}{\alpha_j^2 K_+(\alpha_j)}, \quad \eta_j = \frac{F_-(-\alpha_j)}{\alpha_j^2 K_-(-\alpha_j)}.$$

Для них получим следующую систему:

$$\begin{aligned} \boldsymbol{\xi} - C\boldsymbol{\eta} - A\mathbf{a} &= \mathbf{F}_1, \\ \boldsymbol{\eta} - C\boldsymbol{\xi} - \tilde{A}\mathbf{b} &= \mathbf{F}_2, \\ G\boldsymbol{\eta} + B\mathbf{a} &= \mathbf{F}_3, \\ S\boldsymbol{\xi} + D\mathbf{b} &= \mathbf{F}_4, \end{aligned} \quad (3.1)$$

где $\boldsymbol{\xi}$, $\boldsymbol{\eta}$, \mathbf{F}_n , \mathbf{a} , \mathbf{b} — векторы $\{\xi_j\}$, $\{\eta_j\}$, $\{F_j^{(n)}\}$, $\{a_i\}$, $\{b_i\}$; C , G , S , B , D , A , \tilde{A} — матрицы $\{C_{jm}\}$, $\{G_{im}\}$, $\{S_{im}\}$, $\{B_{im}\}$, $\{D_{im}\}$, $\{A_{ji}\}$, $\{\tilde{A}_{ji}\}$;

$$C_{jm} = \frac{Q_m}{\alpha_j^2(\alpha_m + \alpha_j)}; \quad Q_m = \frac{e^{i\alpha_m L} \alpha_m^2 K_+^2(\alpha_m) K_1(\alpha_m)}{K_2'(\alpha_m)}; \quad \tilde{A}_{ji} = (-1)^{i-1} \alpha_j^{i-3};$$

$$A_{ji} = \alpha_j^{i-3}; \quad G_{im} = Q_m \sum_{k=1}^4 \frac{z_k^{i-2} K_+(z_k)}{z_k + \alpha_j}; \quad S_{im} = -Q_m \sum_{k=1}^4 \frac{z_k^{i-2}}{K_+(z_k)(z_k - \alpha_j)};$$

$$B_{11} = \sum_{k=1}^4 \frac{K_+(z_k)}{z_k}, \quad B_{12} = B_{21} = \sum_{k=1}^4 K_+(z_k); \quad B_{22} = \sum_{k=1}^4 z_k K_+(z_k);$$

$$D_{11} = \sum_{k=1}^4 \frac{1}{K_+(z_k) z_k}; \quad D_{12} = D_{21} = \sum_{k=1}^4 \frac{1}{K_+(z_k)}; \quad D_{22} = \sum_{k=1}^4 \frac{z_k}{K_+(z_k)};$$

$$F_j^{(1)} = -L_+(\alpha_j)/\alpha_j^2; \quad F_j^{(2)} = -N_-(-\alpha_j)/\alpha_j^2;$$

$$F_i^{(3)} = \sum_{k=1}^4 z_k^{i-2} K_+(z_k) L_+(z_k); \quad F_i^{(4)} = \sum_{k=1}^4 z_k^{i-2} N_-(z_k)/K_+(z_k);$$

$$L_+(\alpha) = \begin{cases} -i \sum_{m=0}^{\infty} \frac{e^{i\gamma_m(x_*-L)}(\beta\gamma_m^4 - d)}{\operatorname{ch}(\gamma_m H) K_+(\gamma_m) K_1'(\gamma_m)(\gamma_m - \alpha)} - i \frac{e^{i\alpha(x_*-L)}(\beta\alpha^4 - d)}{\operatorname{ch}(\alpha H) K_+(\alpha) K_1(\alpha)}, & x_* > L, \\ i \sum_{m=-2}^{\infty} \frac{e^{i\alpha_m(L-x_*)} K_+(\alpha_m)(\beta\alpha_m^4 - d)}{\operatorname{ch}(\alpha_m H) K_2'(\alpha_m)(\alpha_m + \alpha)}, & x_* < L; \end{cases}$$

$$N_-(\alpha) = \begin{cases} -i \sum_{m=0}^{\infty} \frac{e^{-i\gamma_m x_*}(\beta\gamma_m^4 - d)}{\operatorname{ch}(\gamma_m H) K_+(\gamma_m) K_1'(\gamma_m)(\gamma_m + \alpha)} - i \frac{e^{i\alpha x_*}(\beta\alpha^4 - d)}{\operatorname{ch}(\alpha H) K_-(\alpha) K_1(\alpha)}, & x_* < 0, \\ i \sum_{m=-2}^{\infty} \frac{e^{i\alpha_m x_*} K_+(\alpha_m)(\beta\alpha_m^4 - d)}{\operatorname{ch}(\alpha_m H) K_2'(\alpha_m)(\alpha_m - \alpha)}, & x_* > 0. \end{cases}$$

После того как система (3.1) решена, найдем прогиб пластины и возвышение свободной поверхности вдали от пластины. Имеем

$$C(\alpha) = (F_-(\alpha) + e^{i\alpha L} F_+(\alpha) + i e^{i\alpha_0 x_*} [(\beta\alpha^4 + 1 - d) \operatorname{ch}(\alpha H) - \operatorname{sh}(\alpha H)/\alpha]) / K_2(\alpha).$$

С помощью обратного преобразования Фурье находим

$$\begin{aligned} \phi(x, y) = & \frac{1}{2\pi} \int_{-\infty}^{\infty} \frac{e^{-i\alpha x} Z(\alpha, y) [F_-(\alpha) + e^{i\alpha L} F_+(\alpha)] d\alpha}{K_2(\alpha)} + \\ & + \frac{1}{2\pi i} \int_{-\infty}^{\infty} \frac{e^{-i\alpha(x-x_*)} \operatorname{sh}(\alpha(y+H)) d\alpha}{\alpha} - \\ & - \frac{1}{2\pi i} \int_{-\infty}^{\infty} \frac{e^{-i\alpha(x-x_*)} Z(\alpha, y)}{K_2(\alpha)} \left[(\beta\alpha^4 + 1 - d) \operatorname{ch}(\alpha H) - \frac{\operatorname{sh}(\alpha H)}{\alpha} \right] d\alpha. \end{aligned}$$

Прогиб пластины $w(x)$ и безразмерные изгибающие моменты $M(x)$ определяются формулами

$$\begin{aligned} w(x) = \sum_{j=-2}^{\infty} \frac{W_j(x)}{K_2'(\alpha_j)}, \quad M(x) = \frac{\beta l |w''(x)|}{Ld}, \\ W_j(x) = -i \frac{e^{i\alpha_j |x-x_*|}}{\operatorname{ch}(\alpha_j H)} + \frac{\alpha_j^2 K_1(\alpha_j) K_+(\alpha_j)}{\beta\alpha_j^4 - d} [\eta_j e^{i\alpha_j x} + \xi_j e^{i\alpha_j(L-x)}]. \end{aligned}$$

Первый член в $W_j(x)$ — волна от источника колебаний. Значения ξ_j определяют комплексные амплитуды волн, отраженных с правой кромки пластины, а η_j — с левой кромки.

Из выражений (2.12) и (2.17) находим амплитуды возвышения свободной границы ζ_1 при $x \rightarrow -\infty$ и ζ_2 при $x \rightarrow \infty$:

$$\begin{aligned} \zeta_1 = & -\frac{i e^{i\gamma x_*}}{\operatorname{ch}(\gamma H) K_1'(\gamma)} - \frac{1}{K_1'(\gamma) K_+(\gamma)} \left[b_1 + b_2 \gamma + N_+(\gamma) - \sum_{j=-2}^{\infty} \frac{e^{i\alpha_j L} K_+^2(\alpha_j) K_1(\alpha_j) \alpha_j^2 \xi_j}{K_2'(\alpha_j) (\gamma - \alpha_j)} \right], \\ \zeta_2 = & -\frac{i e^{-i\gamma x_*}}{\operatorname{ch}(\gamma H) K_1'(\gamma)} - \frac{e^{-i\gamma L}}{K_1'(\gamma) K_+(\gamma)} \left[a_1 - a_2 \gamma + L_-(-\gamma) - \sum_{j=-2}^{\infty} \frac{e^{i\alpha_j L} K_+^2(\alpha_j) K_1(\alpha_j) \alpha_j^2 \eta_j}{K_2'(\alpha_j) (\gamma - \alpha_j)} \right], \\ L_-(-\gamma) = & -\frac{i e^{i\gamma(L-x_*)} K_+(\gamma)}{\operatorname{ch}(\gamma H)} - L_+(-\gamma), \quad N_+(\gamma) = -\frac{i e^{i\gamma x_*} K_+(\gamma)}{\operatorname{ch}(\gamma H)} - N_-(-\gamma). \end{aligned}$$

Рассмотрим теперь общий случай. Пусть на дне имеется участок $[x_1, x_2]$, колеблющийся периодически и вертикально с заданным законом перемещений $u(x)$, $x \in [x_1, x_2]$. В этом случае, умножая полученное решение на $u(x_*)$ и интегрируя по x_* , находим решение для общего случая. Отметим, что в случае, когда колеблющийся участок дна находится под кромкой пластины, суммы в выражениях для $L_+(\alpha)$ и $N_-(\alpha)$ сходятся слабо, поэтому при вычислении их значений по формулам (2.7), (2.8) необходимо сначала проинтегрировать по x_* , а затем применить теорию вычетов.

4. Численные результаты. Расчеты проводились для модельного аэропорта при следующих значениях параметров: жесткость пластины $D = 1,764 \cdot 10^{11}$ Н·м², длина $L_0 = 1000$ м, плотность жидкости $\rho = 1025$ кг/м³, осадка пластины в воду 5 м. Глубина жидкости менялась. В этом случае безразмерный параметр d является существенным, и его нельзя отбрасывать (как это делалось в ряде работ). Зависимость параметра d от частоты ω показана на рис. 1. Видно, что с ростом частоты параметр d быстро растет, и при $\omega > 1$ с⁻¹ его необходимо учитывать.

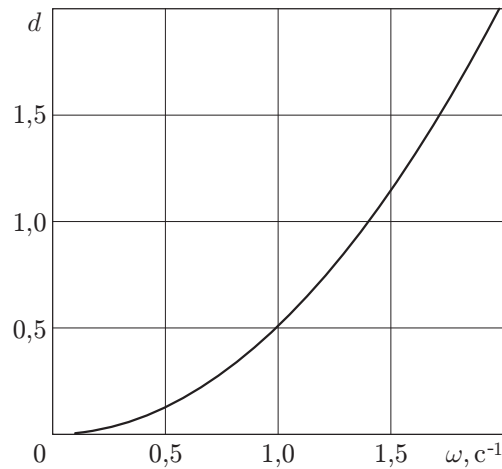


Рис. 1. Зависимость безразмерного параметра d от частоты ω

Вертикальные смещения колеблющегося участка дна задавались в виде $u(x) = u_0 \cos^2(\pi(x-x_0)/(2s))$, где x_0 — центр, s — полуширина участка ($s = 200$ м). Численно исследована зависимость амплитуд колебаний жидкости и пластины от частоты, положения колеблющегося участка, а также глубины жидкости.

На рис. 2,а приведена зависимость коэффициента отражения R от частоты в задаче дифракции поверхностных волн для жидкости глубиной $H_0 = 100$ м (расчеты проводились методом [7]). В [8] показано, что в случае мелкой воды нулевые значения коэффициента отражения соответствуют частотам рассеяния (резонансным частотам), на которых амплитуды колебаний пластины и жидкости максимальны в задаче дифракции. По-видимому, это справедливо и для жидкости конечной глубины. Увеличение амплитуд колебаний пластины и жидкости на частотах рассеяния отмечено и в задаче о вынужденных колебаниях плавающей пластины под действием периодической нагрузки [9].

На рис. 2,б-г представлены зависимости от частоты амплитуд колебаний жидкости и пластины при $x_0 = 500, 300, 0$ м; $s = 200$ м; глубина жидкости $H_0 = 100$ м. Штриховые кривые 1, 2 соответствуют амплитудам возвышения жидкости на бесконечности слева и справа от пластины, сплошные кривые 1–3 — амплитудам прогиба пластины в левой и правой кромках и при $x = x_0$; пунктирные кривые 1, 2 — максимальной амплитуде безразмерного изгибающего момента на пластине и амплитуде в точке $x = x_0$ (на рис. 2,б в силу симметрии сплошные и штриховые кривые 1 и 2 совпадают, а на рис. 2,г $x_0 = 0$, т. е. левая кромка находится над центром колеблющегося участка). Как видно из рис. 2, зависимость амплитуд колебаний жидкости и пластины от частоты немонотонная. Наблюдается увеличение амплитуд колебаний на частотах рассеяния (для симметричного случая частоты рассеяния, соответствующие несимметричным модам, исчезают). При этом амплитуды прогиба в точке x_0 изменяются значительно меньше, чем амплитуды кромок. Положение колеблющегося участка дна по отношению к пластине существенно влияет на характер колебаний.

На рис. 3 приведено распределение амплитуд прогиба пластины и момента при различных частотах. Глубина жидкости $H_0 = 100$ м, $x_0 = 300$ м. При частотах, близких к нулю, амплитуды прогиба пластины практически равны во всех точках (кривая 1). С увеличением частоты амплитуды прогиба в точке x_0 (центре колеблющегося участка) и в кромках становятся значительно больше, чем в остальной части пластины (кривая 2). При дальнейшем увеличении частоты амплитуды волн, отраженных от краев, уменьшаются, растет количество горбов и впадин в средней части пластины (кривые 3, 4). При высоких

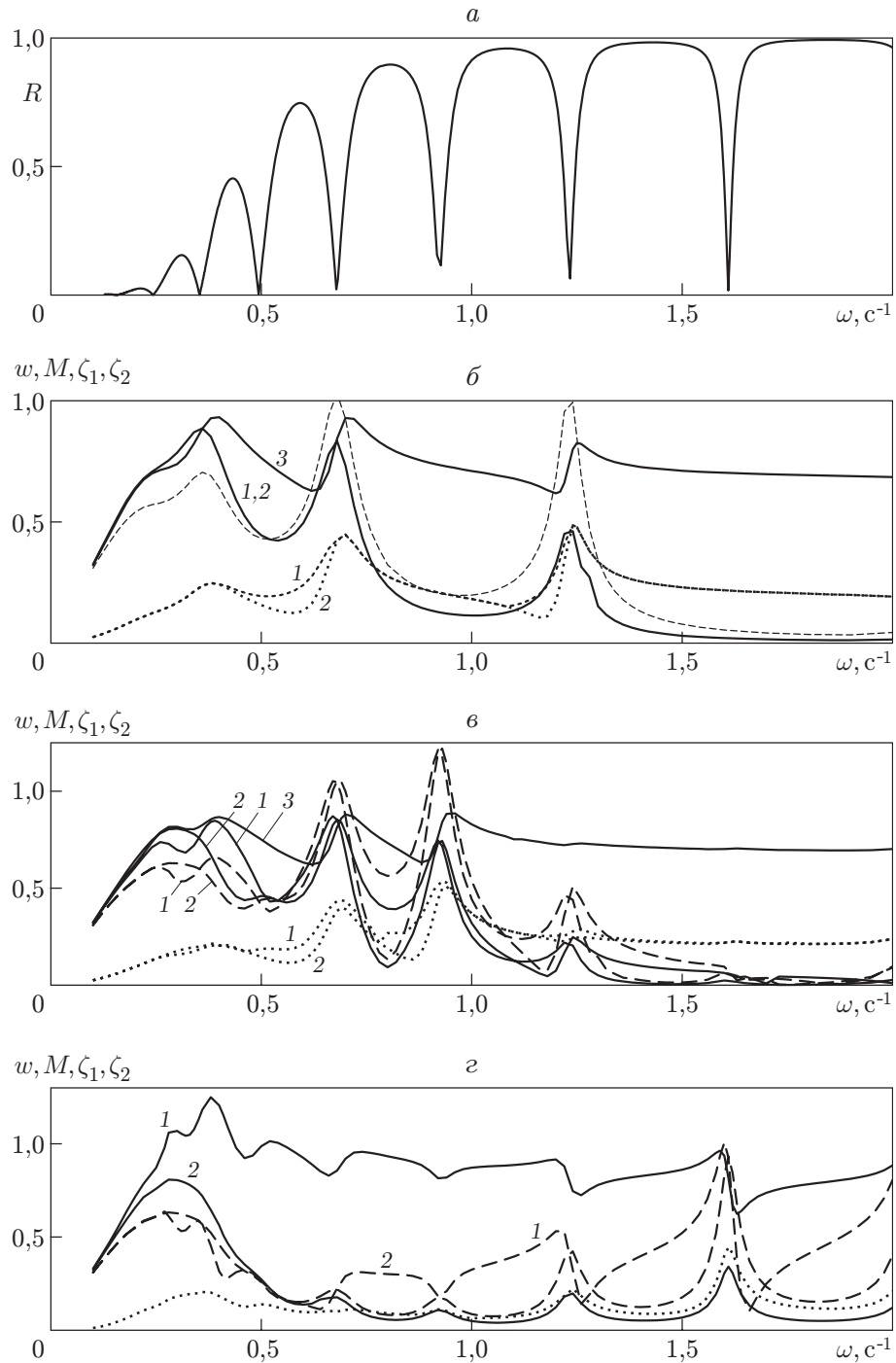


Рис. 2. Зависимости от частоты коэффициента отражения R в задаче дифракции поверхностных волн (*a*) и амплитуд прогиба пластины w , момента M и возвышения свободной границы в дальнем поле (ζ_1, ζ_2) для различных положений колеблющегося участка (*б* — $x_0 = 500$ м, *в* — $x_0 = 300$ м, *г* — $x_0 = 0$)

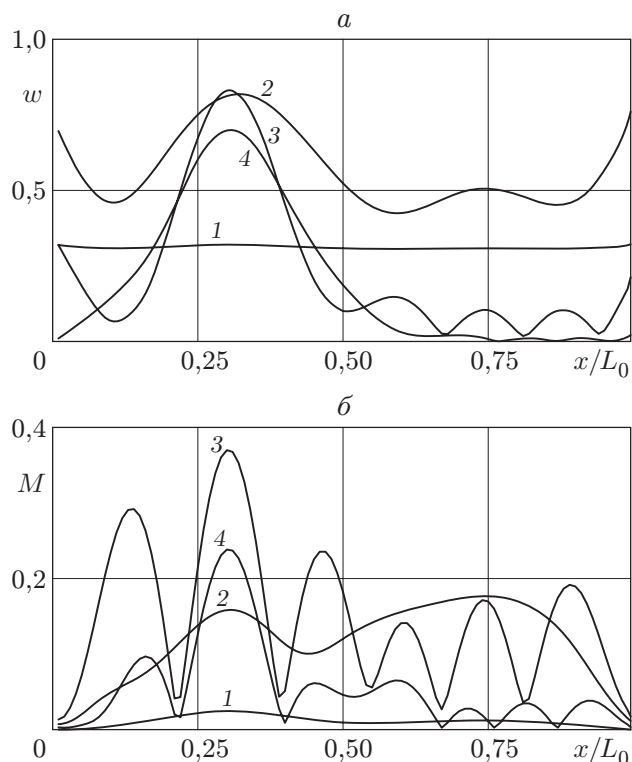


Рис. 3

Рис. 3. Распределение амплитуд прогиба пластины (а) и момента (б) для разных частот в несимметричном случае:

1 — $\omega = 0,1 \text{ c}^{-1}$; 2 — $\omega = 0,3 \text{ c}^{-1}$; 3 — $\omega = 1 \text{ c}^{-1}$; 4 — $\omega = 2 \text{ c}^{-1}$

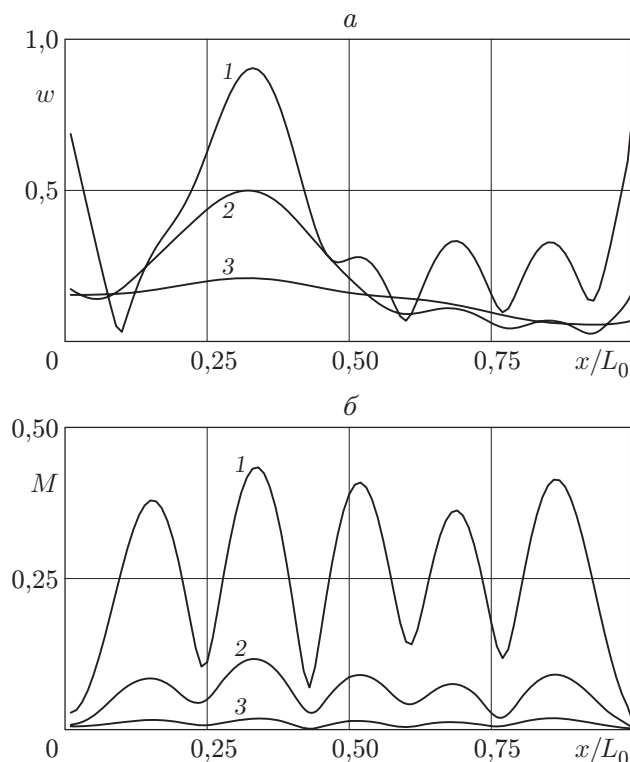


Рис. 4

Рис. 4. Влияние глубины жидкости на амплитуды прогиба пластины (а) и момента (б) в несимметричном случае при $\omega = 0,7 \text{ c}^{-1}$:

1 — $H_0 = 100 \text{ м}$; 2 — $H_0 = 200 \text{ м}$; 3 — $H_0 = 500 \text{ м}$

частотах максимальные амплитуды прогиба достигаются над колеблющимся участком дна, а максимальные напряжения могут наблюдаться и на других участках пластины.

На рис. 4 показано влияние глубины жидкости на амплитуды прогиба пластины и безразмерного изгибающего момента при $\omega = 0,7 \text{ c}^{-1}$, $x_0 = 300 \text{ м}$. С увеличением глубины амплитуды колебаний пластины уменьшаются.

Итак, результаты расчетов и сравнение их с соответствующими результатами для полубесконечной пластины [2] показывают существенное влияние кромок на амплитуды прогиба и напряжений в пластине. Для пластины конечной ширины взаимодействие распространяющихся мод, отраженных с кромок и соответствующих действительному корню α_0 , в значительной степени определяет амплитуды прогиба и напряжений в пластине.

ЛИТЕРАТУРА

1. Takamura H., Masuda K., Maeda H., Bessho M. A study on the estimation of the seaquake response of a floating structure considering the characteristics of seismic wave propagation in the ground and the water // J. Marine Sci. and Technol. 2003. V. 7. P. 164–174.
2. Ткачева Л. А. Поведение плавающей упругой пластины при колебаниях участка дна // ПМТФ. 2005. Т. 46, № 2. С. 98–108.

3. **Kashivagi M.** Research on hydroelastic responses of VLFS: recent progress and future work // J. Offshore and Polar Engng. 2000. V. 10, N 2. P. 17–26.
4. **Нобл Б.** Применение метода Винера — Хопфа для решения дифференциальных уравнений в частных производных. М.: Изд-во иностр. лит., 1962.
5. **Фох С., Squire V. A.** Reflection and transmission characteristics at the edge of short fast sea ice // J. Geophys. Res. 1990. V. 95, N C7. P. 11.629-11.639.
6. **Гельфанд И. М., Шилов Г. Е.** Обобщенные функции и действия над ними. М.: Физматгиз, 1959.
7. **Коробкин А. А.** Численное и асимптотическое исследование плоской задачи о гидроупругом поведении плавающей пластины на волнах // ПМТФ. 2000. Т. 41, № 2. С. 90–96.
8. **Meulan M.** Computation of resonances for a floating one dimensional thin plate on shallow water // Proc. of the III Intern. conf. on hydroelasticity in marine technology, Oxford, 15–17 Sept., 2003. Oxford: Univ. of Oxford, 2003. P. 251–257.
9. **Tkacheva L. A.** Forced vibrations of floating elastic plate // Proc. of the 19th Intern. workshop on water waves and floating bodies, Cortona (Italy), 28–31 Mar., 2004. Rome: INSEAN, 2004.

Поступила в редакцию 25/X 2004 г.
